

## (36) 骨組の弾塑性破壊解析 — 臨界構造解析法の架構への応用 —

河 村 麟\*

### 1. 序

本研究は、骨組構造物を剛体パネルにモデル化し、パネル部分を更に離散化する、構造物の弾塑性破壊解析法を提示するものである。

構造物の極限安全性を解明するには、構造物の破壊過程と破壊そのものの力学的意味を明確にしなければならない。その障壁は、材料の不連続性と非線形性、構造体の幾何学的非線形性、そして、角の非唯一性である。現在の材料破壊力学、連続体の力学、有限要素法等は、架構のマクロな弾塑性破壊過程の解析には不適である。

筆者提唱の臨界構造解析手法は、材料の力学的特性の危険点に着眼し、大胆な区分線形化、離散化を施す、構造部材又は断面レベルの弾塑性破壊解析法である。その基本的な考え方の妥当性は、既に実験事実によつても確かめられてゐる<sup>(5)</sup>。本研究は、更に、本手法の一筋骨組架構への拡大適用を試みると共に、破壊のメカニズムとその確率性に考察を加えようとするものである。

### 2. 実験事実

Figs.1,2 は、実験的に得た鉄筋コンクリート及び筋付 H 形鋼骨組単位ラーメンの終局性状である<sup>(6)(7)</sup>。載荷条件は、柱に終局耐力の  $\frac{1}{3}$  の定軸圧を加えつつ、対角線方向の繰返し荷重を加えたものである。

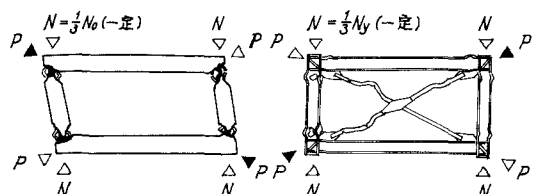


Fig.1 鉄筋コンクリートラーメンの終局破壊性状<sup>(6)</sup>

Fig.2 筋付 H 形鋼骨組ラーメンの終局破壊性状<sup>(7)</sup>

鉄筋コンクリートラーメンの柱頭柱脚では、コンクリートが崩落し鉄筋は座屈・破断している。筋付 H 形鋼骨組ラーメンでは、柱頭柱脚フレジ・ウェブでの局部座屈、局部破断、筋途中央部及び端部、ガセットプレート等での局部破断が生じている。

このような終局性状には、次の如き特色あるいは問題点が含まれてゐる。

- (1) 破壊は部材一部に集中的に生じる。
- (2) 破壊域は部材成形度の領域を有する。
- (3) 軸力と撓みによる付加曲げモーメントの影響を無視できない。
- (4) コンクリートや鉄骨は、局所的には材料破壊点を越えた状態に到つてゐる。

供試体は、実構造物の約  $\frac{1}{2}$  スケールを有するが、その弾塑性破壊性状は線材と面材、材料破壊と構造破壊の、各々両者の混合した性質を表わしている。Figs.3,4 は、コンクリートシリ

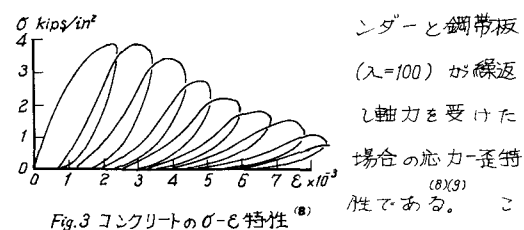


Fig.3 コンクリートの  $\sigma$ - $\epsilon$  特性<sup>(8)</sup>

ンダーと鋼帯板 ( $\lambda=100$ ) が繰返し軸力を受けた場合の応力-歪特性である。こ

のようないくつかの特徴である。  
のようないくつかの特徴である。  
のようないくつかの特徴である。  
のようないくつかの特徴である。

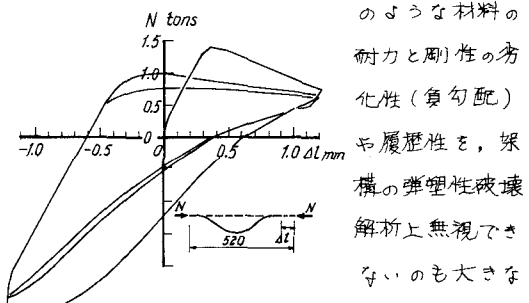


Fig.4 鋼板の  $N$ - $\Delta L$  特性<sup>(9)</sup>

\* 神戸大学・工学部

### 3. 仮定

#### 3-1 骨組の剛体バネヒンジモデル化

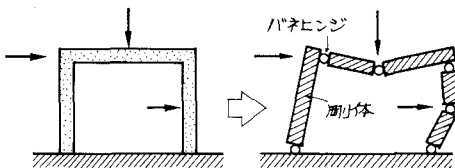


Fig.5 骨組(ラーメン)の剛体・バネヒンジモデル化

本稿では主としてラーメン架構の骨組を対象とし、Fig.5の如くバネヒンジで連結された剛体を理想化する。バネヒンジは、Figs.1, 2の如く変形や崩壊を集中的に生じる部分であり、外力の作用点、節点、支持点等に設定する。本モデルでは、バネヒンジは弾性から破壊迄の一切の変形を行なう為、弾性、塑性弹性域において変形を過小評価することになるが、解析の主眼点を塑性破壊域に置くことにすれば、その誤差は塑性化と共に相対的に減少し、逆に定性的なメリット(簡明性、一貫性、終局状態への近似性)は増大する。<sup>(10)(16)</sup>

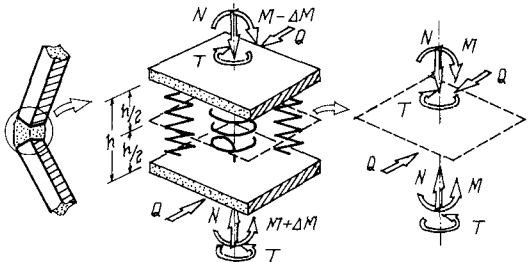


Fig.6 バネヒンジモデルと断面力 Fig.7 バネヒンジ中面の断面力

Fig.6はバネヒンジを拡大したもので、上下の剛体端面には、部材の断面力、 $N$ (軸力),  $M$ (曲げモーメント),  $Q$ (剪断力),  $T$ (捩りモーメント)が回転軸に歯し作用している。バネヒンジの高さは部材長さに比し充分小さいものとすれば、バネヒンジ中面に、Fig.7の如く断面力  $M$ ,  $N$ ,  $Q$ ,  $T$  が表裏に對となって作用しており、これらを以てバネヒンジに作用する断面力と見做すことができる。

断面力  $N$ ,  $M$ ,  $Q$ ,  $T$  の方向に対し、バネヒンジ

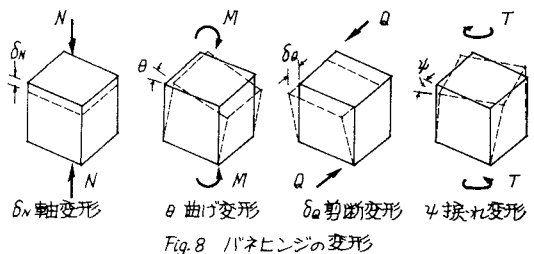


Fig.8 バネヒンジの変形

上下端面の相対的な変位、 $\delta_x$ ,  $\theta$ ,  $\delta_y$ ,  $\psi$  がFig.8 の如く生じ、これらを以てバネヒンジの変形と考える。又、バネヒンジ内部の軸(高さ)方向において、歪の分布は一様とする。

#### 3-2 バネヒンジの線形化(単位線形系)<sup>(2)</sup>

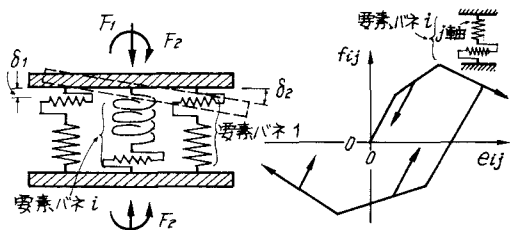


Fig.9 離散化バネヒンジ

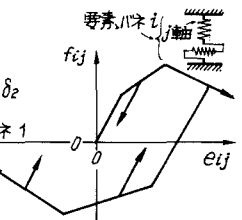


Fig.10 i要素バネj軸方向多折線履歴劣化型変形特性

Fig.9はFig.6のバネヒンジを簡略化して描いたもので、バネヒンジが離散的な要素バネの集合体であることを示す。各要素バネは、バネヒンジの上下剛体端面に直接連結されている。断面力は  $F_1$  ~  $F_n$  の如く、従って、変形を  $\delta_1$  ~  $\delta_n$  の如く各々独立に存在する。要素バネは  $m$  で存在し、 $i$  要素バネの  $j$  軸方向では、Fig.10の如く多折線履歴劣化型の力-変形特性を有するものとする。要素バネは一般にし軸状態にあると考えれば、上記の  $n$ ,  $m$ ,  $l$  について以下の大小関係が存在する。

$$m \geq n \geq l \quad \cdots (1)$$

又、 $i$  要素バネの力-変形特性も、一般に、

$$\dot{e}_i \in E_i : f_i = k_i e_i \quad \cdots (2)$$

で与えられる。但し、 $f_i$ ,  $\dot{e}_i$  は  $f_i$ ,  $e_i$  の増分

を意味し、 $E_i$  は線形増分領域を表わす。 $f_i, e_i$  は  $i$  次元の列ベクトル、 $k_{ii}$  は  $(li \times li)$  行列となる。

一方、Fig. 9 の離散化モデルから、バネヒンジにおける釣合条件と適合条件は次式の如く与えられる。

$$F = AF \quad \dots (3), \quad e = A^T \delta \quad \dots (4)$$

但し、 $F, \delta$  は  $li$  次元の列ベクトル、 $f, e$  は  $\frac{1}{2}li$  次元の列ベクトル、 $A$  は係数マトリックス、 $A^T$  は転置行列である。

バネヒンジとして線形増分で表わせば、

$$\dot{\delta} \in \Omega : F = AkA^T\dot{\delta} = K\dot{\delta} \quad \dots (5)$$

が導かれる。但し、 $K$  は  $\frac{1}{2}li \times \frac{1}{2}li$  行列、 $K$  は  $li \times li$  行列である。 $\Omega$  は  $\delta$  の線形増分領域であるが、 $e_i \in E_i, e = A^T \delta$  より与えられる。

以上でバネヒンジ特性が、材料特性も含めて線形化されたことになる。

#### 4. 臨界構造解析<sup>(1)(2)</sup>

筆者が從来提唱して来た臨界構造解析というのとは、バネヒンジ部分の弾塑性破壊挙動を、要素バネ(材料)の臨界点( $f-e$  特性の折点)を媒介として解析する手法である。以下に概要を示そう。

今、簡単のため Fig. 11 の如き 2 つの要素バネからなるバネヒンジを考え、断面力  $N, M$  が作用し、変形  $\delta, \theta$  が生じているものとする。各要素バネは、共に Fig. 12 の力-変形関係を有しているものとする。(従って、 $m=n=2, l=1$ )

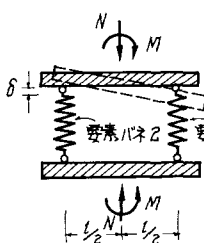


Fig. 11 NM バネヒンジモデル

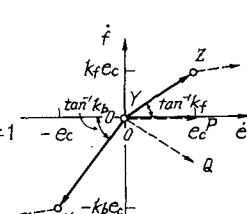


Fig. 12 ハニーネ要素の力-変形特性

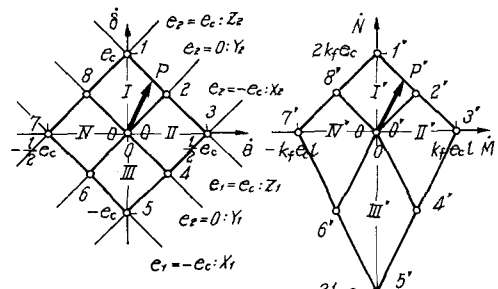


Fig. 13 変形平面特性

Fig. 14 断面力平面特性

変形  $\delta, \theta$ 、断面力  $N, M$  は平面を形成し、Fig. 12 のハニーネ要素の臨界点によつて Figs. 13, 14 の如く境界付けられる。変形平面の領域 I~IV は断面力平面の領域 I'~IV' に式(5)の  $K$  によつて変換される。臨界構造解析とはこのように変形と断面力の空間特性を解明することである。片方に入力ベクトルを与え他方に出力ベクトルを求める従来の静的応答解析も当然含まれる。Figs. 13, 14 の座標軸を入力条件によつては入れ換えることも可能で、その場合でも両者の変換關係は簡単に求まる。

Fig. 12 の如く、要素バネの力-変形特性が、 $\dot{\delta} \leq 0$  すなわち正の剛性を有する場合は、Figs. 13, 14 の変形と断面力の変換關係は一対一対応を有し、解の唯一性が成立する。座標軸を交換しても唯一性は保持される。しかし、Fig. 10 の仮定によれば、Fig. 12 での剛性が破線 OP, OQ の如く零又は負の場合もあり得るので、領域によつては、 $|K| \leq 0$  となることもある。 $l=2$  における一般的な場合を図示したのが Figs. 15, 16 である。この場合でも、入力ベクトルを変形平面にとれは

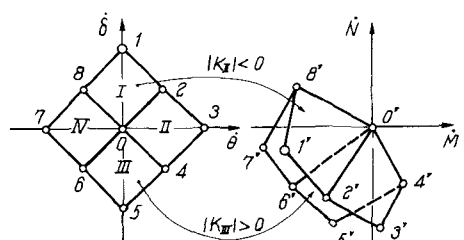


Fig. 15 変形平面特性

Fig. 16 断面力平面特性

出力ベクトルは断面力平面に唯一的に与えられるが、入力ベクトルを断面力平面にとると、出力ベクトルは唯一的には決まらない。変形と断面力の組合せを混合させた一般的な出入力空間を設定すると、解の唯一性は一般的にも成立しなくなる。

この解の非唯一性の問題の解決には、新たな原理の導入が必要とするので第6章にて論じる。

## 5. 骨組解析への応用<sup>(3)</sup>

### 5-1 骨組の外力-変位関係

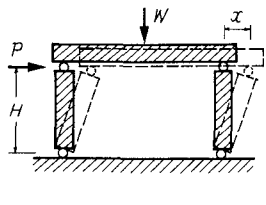


Fig.17 刚体/バネヒンジ内型ラーメン

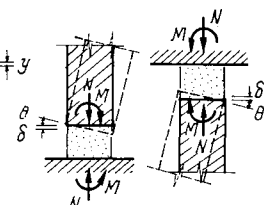


Fig.18 柱頭柱脚バネヒンジ

今、簡単のため例としてFig.17の如き柱頭柱脚バネヒンジを生じる内型ラーメンを考えよう。外力  $W$ ,  $P$  が図のように作用するとして、変位  $y$ ,  $x$  が生じるものとする。(梁は剛体とし、 $W$ の作用点でのバネヒンジの発生はないものとする。) バネヒンジはFig.18の如く  $N$ ,  $M$  の断面力の下で  $\delta$ ,  $\theta$  を生じる同一条件下にあるものとする。力の釣合条件と変形の適合条件は以下の如くなる。

$$\begin{Bmatrix} W \\ P \end{Bmatrix} = \begin{bmatrix} 2 & 0 \\ -2x & 4 \\ H-y & H-y \end{Bmatrix} \begin{Bmatrix} N \\ M \end{Bmatrix} = A_F \begin{Bmatrix} N \\ M \end{Bmatrix} \quad (6)$$

$$\begin{Bmatrix} \delta \\ \theta \end{Bmatrix} = \begin{bmatrix} \frac{1}{2} & -\frac{x}{4H} \\ 0 & \frac{1}{H-y} \end{bmatrix} \begin{Bmatrix} y \\ x \end{Bmatrix} = B_F \begin{Bmatrix} y \\ x \end{Bmatrix} \quad (7)$$

(幾何学的非線形性を考慮に入れるが、高次の微小項は無視する) バネヒンジについては、式(5)を原点に座する形に表現し直すと、 $C$  を定数列ベクトルとして、

$$\delta \in D : F = K\delta + C \quad (8)$$

で表わされる。式(6)~(8)より骨組の外力-変位関係は次式で表わされる。

$$\begin{Bmatrix} W \\ P \end{Bmatrix} = A_F K B_F \begin{Bmatrix} y \\ x \end{Bmatrix} + A_F C \quad (9)$$

$$\therefore F_F = K_H \delta_F + C_H \quad (9)$$

但し、 $F_F, \delta_F$  は骨組の外力系と変位系、 $K_H, C_H$  はバネヒンジと骨組の固有の関係から決まる係数マトリックスと定数列ベクトルである。バネヒンジの場合と異なり、架構の幾何学的非線形性を考慮に入れたので、 $K_H, C_H$  は  $\delta_F$  の関数となる。

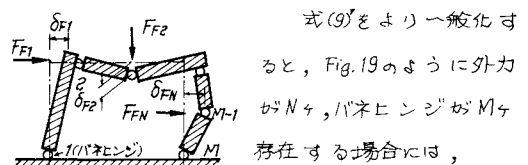


Fig.19 剛体バネヒンジ骨組の外力と変形  $F_F = (\sum_i \frac{M_i}{l_i} K_{Hi}) \delta_F + \sum_i C_{Hi}$   $\quad (10)$

となる。但し、 $\delta_F$  の有効領域は、

$$\delta_F \in D_F \subseteq (D_{H1} \cap \dots \cap D_{Hn} \cap \dots \cap D_{Hm}) \quad (11)$$

で与えられる。ここに、 $D_{Hi}$  はバネヒンジ  $i$  の線形領域に対応する  $\delta_F$  の有効領域(適合条件より求まる)である。

### 5-2. 幾何学的非線形の線形近似化

結論から言えば、式(11)を、現時点を含んで  $(N+1)$  ケの頂点を有する超多面体に遷び、各頂点において式(11)の  $F_F, \delta_F$  と一致するように、

$$F_F = \bar{K}_H \delta_F + \bar{C}_H \quad (12)$$

の如く線形化すればよい。頂点の数  $(N+1)$  は

$$N+1 = \frac{N^2+N}{N} = \frac{\text{バネヒンジ要素の数} + \text{バネヒンジ要素の数}}{\text{バネヒンジ要素の数}} \quad (13)$$

により与えられる。

例として、 $N=2$  の場合について示せば、Figs. 20, 21 の如くなる。バネヒンジ特性は線形化されても、フレームとしては、 $\delta_F, F_F$  平面共に、同図の如く曲線で区切られ、かつ、両者の

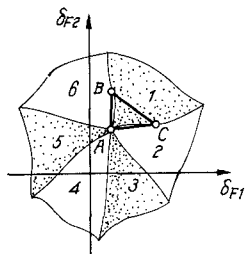


Fig. 20 剛体バネヒンジ骨組の変形空間特性

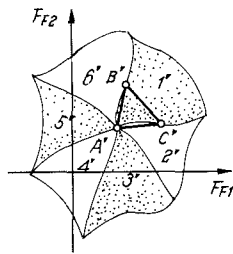


Fig. 21 剛体バネヒンジ骨組の外力空間特性

対応関係も非線形である。そこで現時点 A と B, C の 3 点 ( $= N+1 = 2+1$ ) を視覚的に無理のない範囲内で  $\delta_F$  平面上に設定し、式(10)により  $A', B', C'$  を  $F_F$  平面上にも定める。この 24 の 3 角形の変換関係は、式(12)の形で容易に線形化される。何故なら、未知数の数は  $\bar{R}_H$  の要素数  $2 \times 2$ ,  $\bar{C}_H$  の次元数 2 の和で 6, 条件式は各頂点で 2 式づつだから 3 頂点で 6 式与えられ、両者の数が一致するからである。同様の近似化を他の領域についても行なえば、結局、全ての  $\delta_F$  の進行方向に対して、バネヒンジの Figs. 13, 14 と同様の平面特性が得られることになる。

上記の視覚的近似はマイナス印象を与えるが、実は、ここに本解析法の最も大きな特色がある。即ち、近似化の精度、力学的物理的意味を常に吟味しあげることが可能なのである。特に注意しなければならないのは、過渡の幾何学的非線形性により、Figs. 20, 21 が Figs. 15, 16 の如くなり、解の唯一性が成立しなくなる場合である。所謂、弾性不安定がこの場合に相当する。

### 5-3 区分線形運動的入力を受ける場合<sup>(4)</sup>

簡単のため Fig. 22 の如く Fig. 17 と同様の 4 点バネヒンジ L 型ラーメンが、水平と垂直方向に  $\ddot{x}_0$ ,  $\ddot{y}_0$  の地動加速度を受ける場合について考えて見よう。そして  $\ddot{x}_0$ ,  $\ddot{y}_0$  は Fig. 23 の如く、時刻  $t$  に対して这样

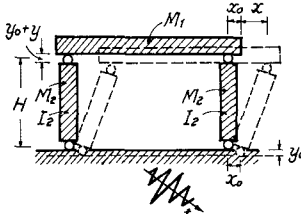


Fig. 22 動的入力を受ける剛体バネヒンジ骨組

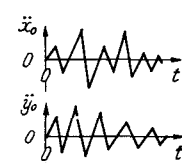


Fig. 23 区分線形運動的地動

的に線形を有するものと仮定する。

Fig. 16 の静的な外力  $W$ ,  $P$  は、表のよう 表される。

$$-W = (M_1 + M_2)(\ddot{x}_0 + \ddot{y}_0) \quad -(14)$$

$$-P = M_1(\ddot{x}_0 + \ddot{y}_0) + 2M_2(\frac{\ddot{x}_0 + \ddot{y}_0}{2}) + 2I_2 \frac{\ddot{x}_0}{H} \quad -(15)$$

但し、柱頭柱脚バネヒンジの同等性を保持するため、柱材の  $M_2$  の  $W$  への効果を平均的に考慮する。マトリックス表示すれば次式となる。

$$-\{W\} = \begin{bmatrix} M_1 + M_2 + \frac{2I_2}{H^2} & 0 \\ 0 & M_1 + M_2 \end{bmatrix} \begin{bmatrix} \ddot{x}_0 \\ \ddot{y}_0 \end{bmatrix} + \begin{bmatrix} M_1 + M_2 & 0 \\ 0 & M_1 + M_2 \end{bmatrix} \begin{bmatrix} \ddot{x}_0 \\ \ddot{y}_0 \end{bmatrix} \quad -(16)$$

又、Fig. 23 の地動の線形化より、

$$t \in T: \begin{bmatrix} M_1 + M_2 & 0 \\ 0 & M_1 + M_2 \end{bmatrix} \begin{bmatrix} \ddot{x}_0 \\ \ddot{y}_0 \end{bmatrix} = -\alpha t + \beta \quad -(17)$$

(但し、 $T$  は線形領域,  $\alpha$ ,  $\beta$  は定数列ベクトル)

とおけるから、式(12)を使って、最終的に次式の運動方程式の形に集約できる。

$$M \ddot{\delta}_F + \bar{R}_H \delta_F + \bar{C}_H = \alpha t + \beta \quad -(18)$$

但し、 $M$  は質量マトリックスである。

式(18)は、一般に、剛体バネヒンジモデルが地動に限らず区分線形運動的入力を受け、幾何学的にも線形近似化された場合の運動方程式で、 $N$  元連立 2 階線形常微分方程式である。

Figs. 24, 25 は、動的入力ベクトルを外力空間  $F_F$  に、出力ベクトルを変位空間  $\delta_F$  に例として描いたものであるが、出力ベクトルは微分方程式

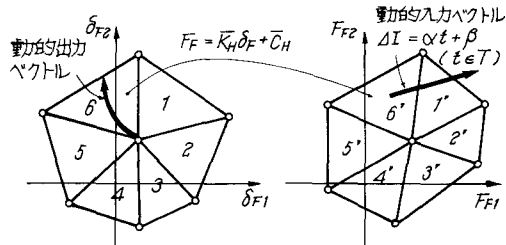


Fig. 24 骨組の変位空間における Fig. 25 骨組の外力空間における動的出力ベクトル

の解であるから、直線にはならない。又、変換マトリックス  $K_H$  の  $|K_H|$  が全ての領域で正であれば、解は唯一的に求まることになる。

しかし、Figs. 15, 16と同様に、 $|K_H| \leq 0$  の領域が存在すると、解の非唯一性の問題が生じる。

## 6. 解の非唯一性と確率性<sup>(3)</sup>

### 6-1 エネルギー確率比例仮説

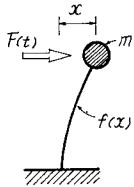


Fig. 26 動的外力を受ける  
一質点振動子

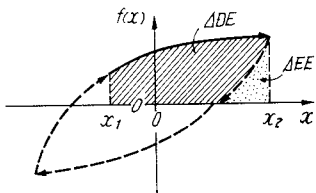


Fig. 27 一質点振動子の復元力特性  
一質点振動子

Fig. 26の一質点振動子に強制外力  $F(t)$  が作用すると、運動方程式は式(19)の如くなり、両辺を変位  $x$  ( $x_1 \sim x_2$ ) で積分して式(20)を得る。

$$m\ddot{x} + f(x) = F(t) \quad -(19)$$

$$\left[ \frac{1}{2}m\dot{x}^2 \right]_{x_1}^{x_2} + \int_{x_1}^{x_2} f(x)dx = \int_{x_1}^{x_2} F(t)dx \quad -(20)$$

$$\Delta KE + \Delta EE + \Delta DE = \Delta IE \quad -(21)$$

式(20)左辺第一項は運動エネルギー増分  $\Delta KE$ 、第二項は Fig. 16 より弾性歪エネルギー増分  $\Delta EE$  と消散エネルギー増分  $\Delta DE$  の和であり、右辺は入力エネルギー増分  $\Delta IE$  である。

ここで、熱力学的発想を導入し、(1)系には不可逆的にエネルギーが流れていること、(2)マクロに見ればエントロピーが増大すること、(3)エントロピーは確率と等価であること、から式(21)のエネルギーと確率が比例するという「エネルギー確率比例仮説」を設定しよう。そうすれば、解の唯一性が成立しない分歧点においても、 $\Delta IE$  に接分比例する確率を有する解が与えられる。更に、運動状態として、マクロよりミクロな方へというエネルギー変換に方向性があるので、 $\Delta IE$  が等しい時

は、 $\Delta EE + \Delta DE$ 、更には、 $\Delta EE + \Delta DE$  が等しい時は、 $\Delta IE$  によって解の確率が与えられることになる。尚、 $\Delta$  は何か共通の基準量の微小変化に対する増分をとればよい。

### 6-2 静的解析の場合

先ず静的応答の場合を対象にすれば、式(8)で  $\Delta KE = 0$  となり、Fig. 16 の  $\Delta EE$  と  $\Delta DE$ のみを考えればよい。系に作用する外乱は、一般に、外力で与えられるので、解の唯一性が成立しない場合は、 $\vec{F}_F$  空間に入力ベクトル  $\vec{A}\vec{F}_F$  をすると、出力ベクトルが  $\vec{\delta}\vec{F}_F$  空間に  $\vec{\Delta}\vec{F}_F$  が複数個存在することになる。(Figs. 28, 29 参照。)

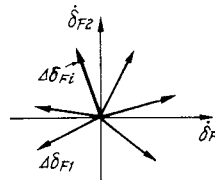


Fig. 28 位移空間における  
複数解ベクトル

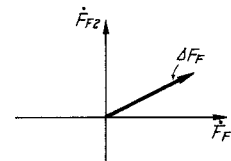
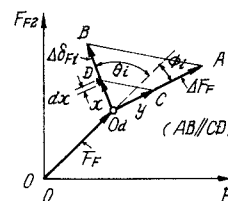


Fig. 29 外力空間における  
入力ベクトル



次に、 $\vec{F}_F$  の極、零から座標軸を復元すれば Fig. 30 の如くなり、分歧点  $O_d$  を始端として、Figs. 28, 29 の  $\vec{\Delta}\vec{F}_F$ ,  $\vec{\Delta}\vec{F}_i$  を組み足せば、入力エネルギー増分  $\Delta IE$  は式(22)で与えられ、従って入力ベクトル  $\vec{A}\vec{F}_F$  に対する速度は式(23)の如くなり、これが解  $\vec{\delta}\vec{F}_F$  の発起確率  $p_i$  に比例するわけである。

$$\Delta IE = \int_{O_d}^B (\vec{F}_F + y) dx \quad -(22)$$

$$\therefore \frac{d\Delta IE}{d\vec{A}\vec{F}_F} = \frac{|\Delta\vec{F}_i|}{|\vec{A}\vec{F}_F|} / |\vec{F}_F| \cos\theta_i \propto p_i \quad -(23)$$

式(23)の  $p_i$  が等しい場合は、 $j$  番目ベクトル  $f_j - e_j$  の確率が Fig. 31 の如く与えられ、 $\vec{A}\vec{F}_F$  に沿う  $\Delta\vec{F}_F$  だけ進行するものとすれば、

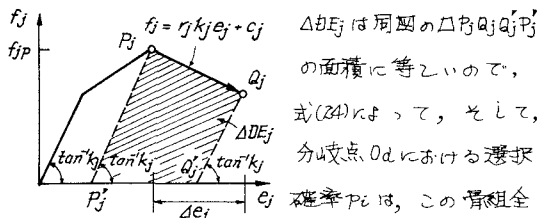


Fig. 31 1/e要素 $j$ の消散エネルギー増分 体に與する総和に比例する量として、式(25)で与えられる。

$$\Delta ADE_j = \frac{1}{2} (2f_{jp} + r_j k_j \Delta e_j) (1 - r_j) \Delta e_j \quad -(24)$$

$$\frac{\mu}{k} \left( \frac{1}{j} \frac{dAe_j}{d\delta_F} \right)_k = \frac{\mu}{k} \left( \frac{1}{j} \frac{4e_j}{4F} \cdot f_{jp}(1 - r_j) \right)_k \propto p_i \quad -(25)$$

### 6-3 動的解析の場合

式(18), Figs. 24, 25 に準拠して考えよう。ある線形区分境界点で計算を再開始する場合、 $\delta_F$ の初速度  $\dot{\delta}_{Fo}$  が、(1)全ての成分について零でない、(2)一つ以上の成分が零である、の二通りの場合がある。前者の場合は、初速度が与えられると、Fig. 24 中  $\delta_F$  の進行方向も決定されるので、解は唯一的に求まる。後者の場合は解の唯一性が保証されないので「エネルギー確率比例仮説」による必要がある。 $\Delta EEE + \Delta EDE$  は式(22)の  $\Delta EIE$  を用いてよい。但し、式(23)では  $\Delta FF$  として  $t \in T: \Delta I = \alpha t + \beta$  を、 $\frac{d\Delta FF}{dt}$  の代りに  $\frac{d(\Delta FF)}{d\Delta I}|_{\Delta I=0}$  を用いる。 $\Delta DE$  による確率は式(25)で与えられるが、 $\frac{d\Delta EII}{d\Delta I}|_{\Delta I=0}$  の代りに  $\frac{d(\Delta EII)}{d\Delta I}|_{\Delta I=0}$  を用いる。 $\Delta KE$  については、 $\dot{\delta}_{Fo i} \neq 0$  の方向成分  $i$  についての  $\frac{d\Delta KE}{d\Delta I}|_{\Delta I=0}$  を求めておく必要があり、次の如く求まる。

$$\Delta KE = \sum_{i=1}^N M_i \dot{\delta}_{Fo i}^2 \quad -(26), \quad \frac{d(\Delta I)}{dt} = \alpha \quad -(27)$$

$$\therefore \frac{d\Delta KE}{d\Delta I}|_{\Delta I=0} = \sum_{i=1}^N M_i \dot{\delta}_{Fo i} \ddot{\delta}_{Fo i} / \alpha \quad -(28)$$

以上より分岐点における  $\frac{d\Delta IE}{d\Delta I}|_{\Delta I=0}$  が与えられる。

### 7. 破壊とは？

以上の解析によれば、「破壊」が次の如く明確に定義される。

静的解析においては、入力ベクトルの設定さ

れた処に領域が定義されず存在しない場合、解も存在せず（実際は加速運動で釣合あくとする）破壊と考えられる。 $|K_1| = 0$  の領域で入力が与えられると等速で Flow することもあるので、これを破壊と看做すことができる。

動的解析の場合は、一つ以上の変形成分において解のベクトルが、境界線のない方向に無限に、 $\ddot{\delta} \geq 0$  で変形が進行し続ける場合を以て破壊と考えてよい。

### 8. 結

本報では、従来の臨界構造解析法の応用として、剛体バネ上にモデル化した骨組架構について、材料非線形性、幾何学的非線形性を線形近似化する、静的、動的な弾塑性破壊解析法を提示した。本法によれば、要素の劣化特性又は部材の過度の幾何学的非線形性により解の唯一性が崩れること、「エネルギー確率比例仮説」を導入すれば解が確率的に得られること、そして最後に破壊も明確に定義されること、等が明らかになった。

謝辞：本研究では、御指導頂きました神戸大教授山田稔博士と、御討議頂きました同助手谷原勲君に厚く御礼申し上げます。

### 参考文献

- (1) 河村謙：臨界構造解析新説、日本建築学会、近畿支部研報、構造系第22号、357-6, pp. 357~360.
- (2) 河村謙：アーチ型要素からなる Multilinear 系の荷重・変形解析における解の唯一性、第32回応用力学講義、557-10, pp. 213~214.
- (3) 河村謙：臨界構造解析における材料・幾何学的線形近似法並びに確率性、日本建築学会、近畿支部研報、構造23号、SSB-6, pp. 447~444.
- (4) 河村謙：臨界構造解析における動的応答への解法と解の確率的 existence、日本建築学会、大会発表集、SSB-9, pp. 2325~2326.
- (5) 山田稔編著：最新コンクリート構造物の耐震安全性、技報堂出版、SS1-8.
- (6) Yamada, M., Kawamura, H., Kondoh, K.: Elasto-plastic Cyclic Horizontal Sway Behaviours of Reinforced Concrete Unit Rigid Frames Subjected to Constant Vertical Loads, Prel. Rep. IABSE Sympo. Lisboa, 1973, pp. 199~204.
- (7) 山田稔、河村謙、松浦耕作：軸圧を受ける前達付鉄骨単位ラーメンの彈塑性変形性状に関する研究(Ⅱ)、日本建築学会、近畿支部研報、SS2-5, pp. 313~316.
- (8) Sinha, B.P., Gerstle, K.H., Tulin, L.G.: Stress-Strain Relationships for Concrete Under Cyclic Loading, Journal ACI, Vol. 61, No. 2, Feb. 1964, pp. 195~211.
- (9) 山田稔、辻文三、武田加久：繰返し荷重を受ける鉄骨筋達付骨組の彈塑性変形性状に関する研究(Ⅲ)、日本建築学会、近畿支部研報、SS4-5, pp. 175~178.
- (10) 山田稔、河村謙：軸圧を受ける鉄筋コンクリート部材の弾塑性曲げ変形性状に関する研究(IV)、日本建築学会、論報、No. 223, pp. 17~25, 49.9.

ELASTO-PLASTIC AND FRACTURE ANALYSIS OF FRAME STRUCTURES  
- Application of the Critical State Analysis to Frames -

Hiroshi KAWAMURA\*

In order to evaluate the safety against the ultimate state of structures the physical meanings of fracture processes and fracture itself of them should be made clear. For this purpose, in this paper, an elasto-plastic and fracture analysis method of frame structures is presented.

In this analysis, frames are idealized as rigid sticks connected with each other by spring hinges composed of discrete spring elements with partially linear force - deformation relationships. The force - deformation characteristics from elastic state to fracture of such spring hinges are able to be analyzed by the "Critical State Analysis" method already proposed by the Author. In this method mutual transformation relationships between the force and deformation spaces are analyzed (See Figs.13-16) and the critical points in mechanical characteristics of spring elements play main rolls in these spaces. The main subject of this paper is to apply this method to frame analysis. Geometric nonlinearity in frame analysis is overcomed by linear approximation in the external force space and the displacement one of frame structures (See Figs.20,21). Thus all the calculation process until fracture is linearized. In this fracture analysis of frame structures not only static external forces but also dynamic inputs are able to be considered.

From the frame analysis proposed here the following things are made clear:

- (1) When some coefficients of rigidity of spring elements in spring hinges have negative signs and/or there are extreme geometric nonlinearities in frames, the uniqueness of solution is affected.
- (2) If the hypothesis that input or dissipated energy is proportional to occurrence probability is introduced according to the second law in thermo dynamics, probabilistic solutions are able to be given.
- (3) Physical meanings of fracture are definitely clarified by the relationships between input and output vectors in the external force and displacement spaces both in static and dynamic analyses.

---

\* Department of Architecture, Faculty of Engineering, Kobe University, Kobe,  
Japan